

Önszerveződő és komplex rendszerek tudománya.

Tudomány alaktulajdonságai:

- „már a görögök is”
- kvantitatív tudomány → Newton - Principia (1686)  
absztrakció → tömegpont, erő, gravitáció  
redukcionista módszer → nagyon sikeres
- elemi részek + kölcsönhatások
- Boltzmann → az idő nem halad?  
általában csak egyik irányba mennel a folyamatot → miért van az időnek iránya  
Clausius ... → megalapozták az entrópia fogalmát → termodinamika II. főtétel → legrendezetlenebb állapot ⇔ entrópia nő
- statisztikus mechanika sikeres volt
- elemi részek sorozatát atomokat → molekulákat → stb.  
felépíteni ⇒ egyre bonyolultabb dolgok
- a rendezetlenség ellen van ellentétes tendencia  
⇒ kémiai → biológiai evolúció elindul ⇒ ez hogy működik → nyílt rendszerben mi játszódik le
- Prigogine → hogyan csökkenthet az entrópia  
élet lehetősége megérthetővé vált
- számítógépek → szimulációk → hogyan szerveződnek  
egyre komplexebb rendszerek
- önszerveződés megértése a cél, a komplex rendszerre, szerkezetté válás megértése
- csökken az entrópia, ha kapcsolja a környezetbe
- nyílt disszipatív rendszerek kutatása  
környezettel kölcsönhatás
- nemlineáris dinamika kutatása

- egy-egy paramétertől függően kaotikus vagy periodikus mozgás  $\Rightarrow$  bifurkációk
- 80-as években PC megjelenésével számolásokat bárhová elvihetővé váltak  $\Rightarrow$  technikai fejlődés kellett ehhez a területhez
  - kaosz megértése: mechanika ■ klasszikusan determinisztikus  $\Rightarrow$  számítógéppel megkérhető, hogy ez mennyire igaz (pl. időjárás egyenleteit próbálták megoldani)  $\Rightarrow$  Lorentz lefedte a rendszert 3 változóra  $\Rightarrow$  ugyanazzal a kezdeti feltétellel ~~más~~ <sup>más</sup> eredményt kapott  $\Rightarrow$  kicsi numerikus hiba nagy különbséget okozott  $\Rightarrow$  kezdeti feltétellel ha nem ismerjük végig teljesen pontosan akkor megjósolhatatlanná lesz a hiba a rendszer
  - $\Rightarrow$  azt vizsgálhatjuk, hogy egymáshoz közeli kezdeti feltétellel hogyan szóródnak szét
  - a kaosz megváltoztatja a determinisztikus felfogást, a rendszer instabilitásaitól függően egy idő elteltével eltávolodnak a megoldások egymástól

### Evolúció:

- értjük hogyan történik a komplexitást növelése, de miért ???
- mitől melyik történik? rendeződés vagy rendezetlenség?
- biológia  $\Rightarrow$  természetes kiválasztódás  $\Rightarrow$  a dolgoknak evolúciója van  
mi volt a genetikai evolúció előtt?

hogyan fejlődött ez előtt?

- evolúció általánosabb fogalom → önszerveződés törvényszerűségei → ezeket próbáljuk megérteni
- ma már tudjuk, hogy sosem lesz elég nagy számítógép szimuláláshoz → kell valami elv, ami pótolja a hiányt, részleteket.

- evolúciót egymással versengésként fogjuk fel, de az egyedek együttműködnek egymással → miért van erre szükség?

Axelrod (1981) játékkal értette ezt meg számítógépes algoritmusok versengését egymással → valószínűsíthető, hogy kooperálni a kamat vagy sem → jól járás, nem jól járás

hogyan kell ezt játszani??? stratégiát felépítése → mindent mindent ellen kell játszani → nem elég egy jó stratégia →

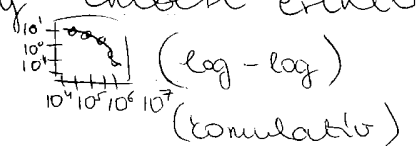
melyik fog nyerni? → először barátkozni kell és túlélni az ő viselkedését → ez a stratégia választódik ki → kooperatív nyer

- sejt elvesztette önállóságát
- embereket társadalmakat alkotnak
- létrehoztunk rendszereket
- kommunikáció is fejlődik → kommunikációs hálózatok → tudás integrált rendszere → nem az egyes ember tudása számít
- magától megjelenik a rendszerben az együttműködés, pedig az önzés, ami benne van programozva a rendszerbe
- számít az összetartás időtartama

- önszerveződésnek vannak főzáratai  
egyre összetettebb rendszereket, evolúció
- komplexitás mérőszáma még nincs egységesen definiálva → nehéz mérni a komplexséget a bonyolultság egyszerű mérésével a random lesz a legbonyolultabb, ami ~~reális~~ megint egyszerű
- egyszerű és a véletlenszerű között van vhol a skála, ezért nehéz ezt definiálni  
⇒ önszerveződés definíciója is probléma
- az ember evolúciója manapság lassan halad, de az ember által kényszerített rendszerek evolúciója folyik → mindenféle halbratók pl. „ember elősegítette evolúció”
- megjelent a kommunikáció, a nyelv → a kommunikációnak is folyik a gyors evolúciója  
↳ speciális ember által kényszerített rendszer
- evolúció tervezéssel → effektívebb rendszereket, mint a természetben pl. utazás, repülés
- robusztusság kérdése: mennyire állnak ellen a külső befolyásoknak a rendszerek  
„robusztus létrák szeretnénk”  
⇒ azot élnek túl, amit a hatékonyság mellett robusztusak is  
pl. csúcsra járatott rendszereket általában nem robusztusak → közepes tulajdonságú rendszereket a túlélőt  
→ highly optimized tolerance
- robusztusság nagyon fontos tulajdonság

fontosabb, mint az anyag, a fogyasztás stb.  
 - robusztusság és fragilitás (törekenység) összefüggése  
 - példa: elektromos hálózat → átlátható komplex rendszer, ~~de~~ emberi természet, sok idő alatt optimalizálódott, folyamatosan fejlődik, de így is van áramszünet (Nemeto-ban eldumant egy trafó és Spanyol. fele elötétült) ⇒ összeomlott magától a rendszer ⇒ ~~miért?~~ miért? hogyan?

vannak eloszlások, hogy hány embert érintő áramszünetből mennyi volt hatványfokú eloszlás



↳ milibembere előforduló áramszünet is sok áramszünetet mér a fragilitást ⇒ hibás viselkedés hatványfokú eloszlás

ez általános tulajdonság

az optimalizáltságtól egyre nagyobb katasztrófát keletkezhetnek → nő a fragilitás

-erdő modellje → összető ~~erdek~~ fát klasztereket alkotnak

jönnek a villámok ⇒ erdőtüz modellje

egy klaszter eg le egyre

részrendszert megsérülése magával rántja

a szomszéd részrendszert

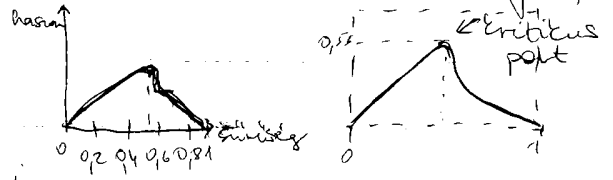
ha nem atartul, hogy az erdő leégjen akkor mit csináljunk?

ti lehet számolni, hogy egy átlagos villámcsapás mennyit égget le → az

erdő hasznossága = fát száma - leégett

fát száma átlagosan

azt akarjuk, hogy az erdő a lehető leghasznosabb legyen → megmérhetjük a természetes ~~viselkedést~~ viselkedést → ha véletlenül nő az erdő akkor attól függően hány száralelőn van fa, a hasznosság átlagosan elején → jó ha növeljük a fa él számát kb. 0,5-ig elérjük a kritikus pontot → optimális

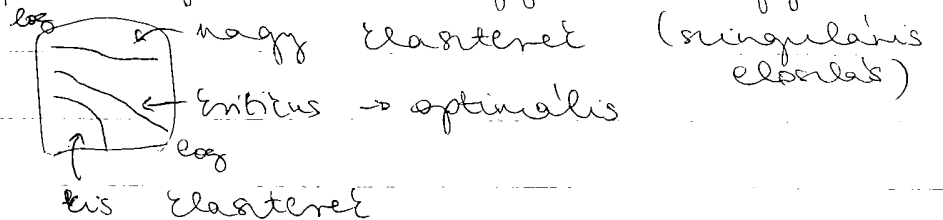


ha teljesen be van telepítve akkor egy villám leégeti az erdőt → csőszenteni jó a sűrűséget komplex situáció során a legjobb eredményt az egyenlő sűrűségi helyzetet, amelyet eljut az erdő nem jól

az átlag magas, de labilis is a kritikus pontban, ahol a legkomplexebb a rendszer természetes működéssel nem lehet 0,5-0,6 fölé menni hasznossággal

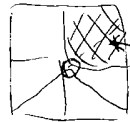
Ez a lép általában sok rendszerre, hogy van egy kritikus érték

a leégett fa eloszlása a kritikus pont körül hatványfokú eloszlást mutat, de ha csak kicsi elaszticitás van (kritikus pont alatt) akkor gyorsan lebegő eloszlás a kritikus pont fölött nagyon nagy eloszlás



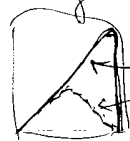
- valamit akármilyen komplex rendszert vizsgálunk (agyr, univerzum stb) hatványfarkú eloszlással találunk, mintha a rendszerek mindig a kritikus pontjukban vannak.
- „önszervező kriticitás” elmélete → a rendszerek szeretnek beállni a kritikus pontjukba
- másik magyarázat: azért vezetődik be a kritikus állapotba magától, hogy a legnagyobb legyen a hasznosság
- vajon így történhet-e a biológiai és a mérnöki rendszerek?

pl: az erdőt az ember doménjébe vágdossa ⇒ tenyésztés jobban működő erdőt tud létrehozni



toleráns tartomány → tolerálják a villámcsapásokat

olyanra fogjuk szabni optimalizálással, hogy hatványfarkú eloszlás legyen

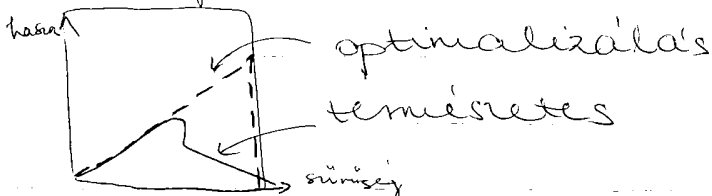


optimalizált piros görbe  
természetes, véletlenszerű

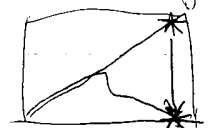
bárhol optimalizálni → hatványfarkú eloszlás

- ⇒ az áramhálózatnál is az optimalizálás során a hatványfarkú eloszlást
- autóforgalom is jó példa erre a csúcsos görbére → forgalomirányítással = tenyésztéssel lehet javítani a dugók kialakulását
- a ferromágneses domén eloszlása is ilyen hatványfarkú eloszlás Curie-pontnál

- fázisátalakulás fizikája hasonló erekehez a modellelhez → kritikus pont + két fázis → kritikus pontban hatványfü. eloszl.
- vajon mi előzta a hatványfü. eloszlásokat a természetben? mi a kritikus jelenség mögöttük?
- általában azért van, mert ha egy rendszer optimalizált (ember, evolúció stb. által), akkor a legjobb működés a kritikus állapotnál van



- változtassuk meg a modellt → a villámok valószínűsége ~~ne~~ legyen homogén → egyik sarokba többször csap le, mint a szemben lévőbe
- szimulációval találjuk ki, hogy a teljesen teli erdőből melyik fát kell kivágnival ezzel ki lehet találni az optimumhoz közeli megoldást → lokális mozgással majdnem a legjobb megtalálható
- többféle optimalizációs folyamat lehetséges
- a hatványfü. eloszlás minden optimalizált esetre jellemző
- a rendszer bármilyen kis hibára érzékeny az általa optimalizált rendszert kis "bajra" lezuhan a teljesítmény →

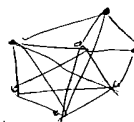




- Kommunikáció evolúciója, amit az ember hajt → ez visszatart az emberi evolúcióra → megváltoztatja a tulajdonságokat információ → gyorsabban és messzebbre folyamatosan → besíd, loval + posta, fény és füstjelek, postaszolgálat, vasút, telegraf, telefon, telefonközpont + telefonhálózat, számítógép, internet... internet-hálózat ⇒ THE BEAST

Komplex hálózatok:

- gráf → csúcsok + élek



hasznos a komplex rendszerek leírásakor

pl. emberi kapcsolatokat leírásánál

internet

áramellátó hálózat

www weboldalai a linkekkel egymásra

- szociális hálózatban nagyon kicsik a távolságok

- a kis távolság a hálózatba szerveződés következménye

$$N = a^n$$

$\ln N \approx n \ln a$  ← emberiség száma

$$n = \frac{\ln N}{\ln a}$$

↓ ← távolság

6 lépés van 2 amerikai között

- véletlen gráfokkal lehet modellezni a komplex hálózatokat → Erdős-Rényi véletlen gráfok

→ összekötöttségi valószínűség (p), N db

pont →  $(N-1)p = \bar{z}$  koordinációs szám → a


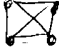
szomszédok átlagos száma

$$\langle L \rangle = \frac{N(N-1)}{2} p$$

$$\langle L \rangle = \frac{N\bar{z}}{2}$$

$$p = \frac{\bar{z}}{N-1}$$

↓  
élet száma

- fehérjék kölcsönhatási ~~hálózat~~ hálózata
  - valós grafban minden össre van kötve
  - véletlenül lehetnek rések, amit nincsenek összekötve a többi résszel
- termodinamitai határeset  $N \rightarrow \infty, z = \text{fix}, p \rightarrow 0$
- "kis világ" tulajdonság már a véletlen grafnál is megmutatkozik
- graf átmérője → a legnagyobb távolság
- véletlen grafnál  $z^D \approx N \Rightarrow D \approx \ln N / \ln z$   
 nagyvételű grafban is kicsi átmérő
- átlagos távolság: legrövidebb utat átlagosan kossa bez is  $\ln N$ -nel megy,  $D$  nagyságrendje
- clustering → közös szomszédokat lehet megismerni  
 1 pont  $k$  szomszéd, amit között  $\frac{k(k-1)}{2}$  összekötés lehetne azt számoljuk, hogy mennyi valószínűség aránya  $\frac{\text{megvalósuló lehetőségek}}{\text{összes lehetőségek}} = C$  klaszterezettség ezen mennyiségét átlaga
- random grafra a klaszterezettség  $C_{\text{rand}} = \frac{z}{N-1} \approx \frac{z}{N}$   
 nagyobb grafokra kisebb  $N$  nő  $p$  kisebb, ami pont a klaszterezettség  
 $C \rightarrow 0$  termodinamitai határesetben  
 ez nem teljesül valódi grafokra a természetben  
 ezt már nem tudja le az Erdős-Rényi modell
- klikk, ahol mindenki mindentit ismer    
 ⇒ teljesen összekötött graf  
 ki lehet számolni, hogy hány <sup>pont</sup>  $K$  nagyságú klikk van egy véletlen grafban:  

$$\binom{N}{K} p^{K(K-1)/2} (1-p)^{N-K}$$

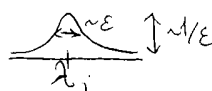
- $k=3$  - nál ugyanaz a elitt meg a klaszterizáltság, ami tart  $0$  - hoz  $N \rightarrow \infty$  - nál, ezért sem jó modell az Erdős - Rényi gráf
- valós hálózatokban sokkal nagyobb a klaszterizáltság, mint véletlen gráf megfelelőjében
- minél nagyobb a hálózat annál nagyobb az elterjedés
- a véletlen gráfok eloszlására binomiális jön ki  $\rightarrow$  Poisson - eloszlásról tart határesetben a szomszédok számának eloszlása  $\lambda = z$
- a valóságban megfigyelhető grafoknál sokkal lassabban esik az eloszlás, mint a Poisson
- központtal (hub) nevezik az olyan pontot, ahol nagyon sok szomszéd van (többes  $z$ )
- $p_i \sim \frac{1}{i^\alpha}$   $\alpha > 1$  típusú eloszlás
- általában  $\alpha > 2$  kell ~~szükséges~~
- skálafüggetlen gráfok eloszlása ugyanígy néz ki, ha ~~csak~~ változtatjuk a főtérmet
- valós gráfok hatványfarkú eloszlást mutatnak a megfigyelhetőség határain belül (van min-max főtérmet, ami megfigyelhető)
- ez sem jó Erdős - Rényi modellel
- gráf összehasonlítási mátrixa
 
$$A_{ij} = \begin{cases} 1 & \text{összevontóba } i \text{ és } j \\ 0 & \text{mégis összevontóba } i \text{ és } j \end{cases}$$
- (irányított gráfoknál nem szimmetrikus)
- $i, l$  - et összehasonlító utak:  $\rightarrow 1$  hosszú  $A_{ii} = 1$  van
- $\rightarrow 2$  hosszúak száma:  $\sum_i A_{ei} A_{ie} = [A^2]_{ii}$
- $\rightarrow n$  hosszúak:  $[A^n]_{ii}$
- sajátértékek eloszlását is megvizsgálhatjuk

a visszatérő utak száma  $\rightarrow$  körök ( $n$  hosszú)  $\sum_{\epsilon} [A^n]_{\epsilon\epsilon} =$   
 $= \text{Tr} A^n = \sum_j \lambda_j^n$

- Green - fn, aminek pólya van a sajátértékénél  
 $\rightarrow$  ezzel a sajátértékek eloszlása

$$\frac{1}{\lambda - \lambda_j + i\epsilon} = \frac{\lambda - \lambda_j - i\epsilon}{(\lambda - \lambda_j)^2 + \epsilon^2} = \frac{\lambda - \lambda_j}{(\lambda - \lambda_j)^2 + \epsilon^2} - i\epsilon \frac{1}{(\lambda - \lambda_j)^2 + \epsilon^2}$$

$\epsilon \rightarrow 0$  esetben



Dirac-delta

pólusok  $+ i\epsilon \rightarrow$  vesszük a képzetes rését  $\Rightarrow$  Dirac-delta  $\epsilon \rightarrow 0$   
 alatta a terület  $\pi$  úgyhogy osztani kell  $\pi$ -vel

$$G(\lambda) = \frac{1}{N} \text{Tr} \left[ \frac{1}{\lambda - A} \right]$$

meg lehet kapni a sajátérték eloszlását

- Wigner -féle feltétel teljes igaz a véletlen grafokra, ami egy véletlen mátrix
  - a mátrix jól jellemzi a hálózatokat
- kiszámolhatóak a tulajdonságok belőle

$$\frac{C}{3} N \frac{z(z-1)}{2} = \frac{1}{6} \sum_{i,j,k} A_{ij} A_{jk} A_{ki}$$

- momentumok és a spektrálsűrűség összerapcsolódik
- szerkesztési alarunk egy véletlen gráfot, ami melé adott a fősorámeloszlása termodynamikai limitben  $\rightarrow p_{\epsilon}$
- vesszük  $N$  pontot,  $\{\epsilon_i\}$  a fősorámeloszlás sorozata  $\Rightarrow p_{\epsilon}$  eloszlás realizációja
- véletlennel is kell lennie  $\rightarrow$  az összerakást véletlenszerűen kell végrehajtani
- lehet először fősorámeloszlású véletlen gráfot létrehozni, hiszen bármelyik fél

líntet bármelyik féllel véletlenszerűen ugyan-  
olyan valószínűséggel kötöttük össze

-  $\xi_i$  lehet az ilyen grafoknak is számolni  
a tulajdonságait  $\rightarrow$  átlagfokszám, elaszticitás  
erősség  $\rightarrow$  lényegesen nem különbözik az  
Erdős-Rényitől  $\rightarrow \frac{1}{N}$  szerint 0-hoz tart a  
elaszticitás

- kiválasztunk egy A pontot, mi a valószínű-  
sége, hogy egy B pont hozzá kapcsolódik?  
ez arányos  $\xi_B$ -vel (B fokszámával)

- A-hoz kapcsolódó B-é fokszám eloszlása:

$$\frac{\xi P_\xi}{Z} = q_{\xi-1} \rightarrow q_\xi = \frac{(\xi+1)P_{\xi+1}}{\sum_j j P_j}$$

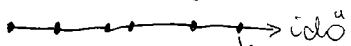
$\rightarrow$  átlagfokszám  $\sum_j j P_j \Rightarrow$  normált eloszlás

$q_\xi$  a maradék líntet eloszlása  $\Rightarrow$  a  
B-é szomszédjainak fokszám eloszlása

$$\sum_\xi q_\xi \xi = \dots = \frac{\langle \xi^2 \rangle - \langle \xi \rangle^2}{\langle \xi \rangle}$$

van egy ilyen valószínűség-számítási effektus  
a szomszédok fokszám eloszlása más, mert  
hosszú nagyobb valószínűséggel csatlakoztat  
a nagyobb fokszámúkat

$\rightarrow$  ugyanígy az effektus a random buszra  
ha ~~random~~ random érel a buszmegállóba,  
és random járunk a buszra, akkor az  
utasok mindig többet várnak átlagosan,  
mint amilyen a buszok átlagos időtöltése



egyenletes ~~időközökkel~~ valószínűséggel érel  
bármelyik pillanatban  $\Rightarrow$  nagyobb valószínű-

műséggel ezt oda egy hosszabb időintervallumba  
váltakozási idő  $\sim \frac{\langle z^2 \rangle - \langle z \rangle^2}{\langle z \rangle}$  szerű

- ugyanaz a szám az Erdős - Rényi - hálózatra  
 $z_2 = z^2 = \langle z \rangle^2 \Rightarrow$  nem változik meg, nincs  
effektus

- m-edik szomszédok száma:  $z_m = \frac{\langle z^3 \rangle - \langle z \rangle^3}{\langle z \rangle} z_{m-1} = \frac{z_2}{z_1} z_{m-1}$   
 $z_m = \left( \frac{z_2}{z_1} \right)^{m-1} z_1$

- ha  $z_2 < z_1$  akkor nem divergál hanem 0-hoz  
tart  $z_m$

ha  $z_1 > z_2$  akkor divergál } termodinamikai  
határesetben

- gráf végtelen, de abban lehet az A pont  
véges tartományban, vagy végtelentben

-  $z_2 = z_1$  a határ, amikor megjelenik  
végtelen ~~nagy~~ nagy cluster  $\rightarrow$  perforációs  
pont  $\rightarrow$  gigantikus komponens

- ez a gráfban egy fázisátalakulási pont  
speciális tulajdonságú gráf ebben a pontban  
 $\langle z^2 \rangle - 2\langle z \rangle^2 = 0$   
 $\langle z(z-2) \rangle = 0$  ebben a pontban

$\hookrightarrow$  nem függ az izolált pontoktól

$\hookrightarrow$  nem függ arról, ahány pont ezt szomszédja  
van



be lehet írni ezt  
szomszédost, amiből

nem változik a kiterjedés

$\hookrightarrow$  csak a topológiai kiterjedéstől függ

$\hookrightarrow$  alármenyi 0 v. 2 perzsnál mode-ot  
horráirathatunk a gigantikus komponens  
érintését nem változtatja meg

- Ezzel perzsnációját is meg lehet vizsgálni

- átlagos távolság a gráfban számolható
- elaszticitás is számolható  $C = \dots = \frac{z}{N} \left( \frac{\langle \ell^2 \rangle - \langle \ell \rangle^2}{\langle \ell \rangle^2} \right)^2 \sim \frac{1}{N}$   
 $C_{E-R} = \frac{z}{N}$

- generálójfüggvényeket lehet felírni, ami az adott forráseloszláshoz tartozik

$$P_\ell = \frac{1}{\ell!} \left. \frac{d^\ell G_\ell}{dx^\ell} \right|_{x=0}$$

$$G_1(x) = \dots = \frac{G_0'(x)}{z} \rightarrow \text{maradékforráseloszlás tulajdonságát ...}$$

- Poisson-eloszlásra egyezni  $G_0(x)$ ,  $G_1(x)$  is ugyanaz ez az Erdős-Rényire vonatkozó 03.16.

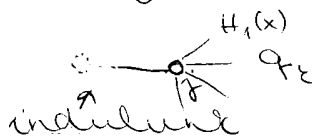
- Elaszticitáteleloszlás számolása:

↳ mincseket benne töröl, hurok  $\Rightarrow$  perkolációs átállás előtt nézzük a gráfot

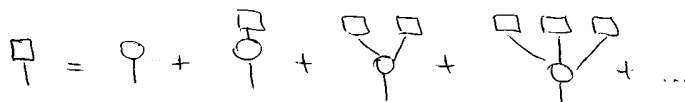
$\Rightarrow$  fánál hívjuk az ilyen gráfot

↳  $H_1$  fr. a elaszticitételek eloszlását fogja generálni

$$H_1(x) = \sum_m h_m^{(1)} x^m$$



maradék szomszédok száma



önkonzisztens egyenlettel tudjuk írni:

$$H_1(x) = x \sum q_k [H_1(x)]^{q_k} = x G_1(H_1(x))$$

egy szinttel lejjel ( $q_k - 1$  kög  $H_1(x)$ )

ebből kell  $H_1$ -et meghatározni

$H_0(x) \rightarrow n$  méretű elaszticitételek eloszlása benne a  $h_m$

$$H_0(x) = x \sum_\ell p_\ell H_1^\ell(x) = x G_0(H_1(x))$$

átlag elaszticitételek  $\ell_i$  lehet számolni

$$\langle s \rangle = H_0'(1) \dots$$

az eredmény tudja az átalakulás katarát

- ha megnézzük az átlagkiszármazás eloszlását, akkor sokmindent vizsgálhatunk

- robusztusság: mikor hal meg a hálózat? amikor szétesít a gráf, nem összerakott, akkor nem jó

amíg vagyunk érvényesek, ha eltolítottunk csúcsokat a gráfban, akkor mikor hal meg

-  $b_i$  a valószínűsége, hogy a csúcs aktív

$$F_0(x) = \sum_i p_i b_i x^i \rightarrow \text{leszámolófüggvény} \quad F_0(1) \leq 1$$

-  $H_0(x), H_1(x)$  új eloszlásértékelés a  $b_i$  valószínűséggel elő létezéshez

- vehetjük  $b_i$ -t  $b$ -nek

$$\tilde{G}_0(x) = 1 - F_0(1) + F_0(x) \text{ helyett } \tilde{G}_0(x) = 1 - b + bG_0(x)$$

- ebben a hálózatban fázisátalakulás lép fel, ha  $b_c = \frac{z_1}{z_2}$

- nagy hálózatot véve  $1 - b_c$  valószínűséggel rombolunk, akkor éppen szét fog esni a hálózat  $\Rightarrow b_c$  min a robusztusságot

- hatványfarkú eloszlással rendelkező gráfokra lehet  $b_c$ -t számolni

$$3 < \alpha: z_1 < \infty, z_2 < \infty$$

$$b_c = \frac{z_1}{z_2}$$

$$2 < \alpha \leq 3: z_1 < \infty, z_2 \rightarrow \infty$$

$$b_c = \frac{z_1}{z_2} \rightarrow 0 \quad \text{természetes limit}$$

$\Leftrightarrow$  egyben marad a gráf

$$1 < \alpha \leq 2: z_1 \rightarrow \infty, z_2 \rightarrow \infty$$

$$b_c = \frac{z_1}{z_2}$$

tetszőleges

- skalárfüggetlen hálózatra

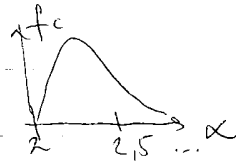
$$H_n^{(r)} = \sum_{\ell=1}^n \frac{1}{\ell^r} \text{ sorozat}$$

$p_i \sim \frac{1}{i^\alpha}$  )  $\rightarrow$  célzott felrakás

$$\sum_{\ell=1}^{\ell_{\max}} \ell(\ell-1) p_\ell = \sum_{\ell=1}^{\ell_{\max}} \ell p_\ell \rightarrow \sum_{\ell=1}^{\infty} \frac{1}{\ell^{\alpha-1}} \rightarrow H_{\infty}^{(\alpha-1)} \text{ jelölése}$$



$f$  - el fejlődik, hogy hányad részt távolítottuk el  $\rightarrow f_c$  -nél esik szét



2 és 3 közötti hatványok a legérdekesebbek

$\rightarrow$  extrém robusztus

$\rightarrow$  ritka a célzott támadásokról

ami a legfontosabb komponensek ellen irányulna

- small-world models

racásban nézzük a pontokat és összeköttetéseket  $\rightarrow$  nézzük a klaszterezettséget

- ha úgy randomizáljuk, hogy beletűnik linket  $\rightarrow$  Newman-Watts model

- ezzel a modellel nem tűnik el a klaszterezettség dinamikai ~~modell~~ létesítésben  $\rightarrow$  működhet szociális hálóra

- valós hálózatokban  $\rightarrow$  preferáljuk azokat a csúcsokat, amiknek már sok ismerőse van  $\rightarrow$  Barabási ? modell  $\rightarrow$  a ragadás valószínűsége  $\sim$  a linket szahival az adott csúcsnál

ezzel lehet növekvő gráfot építeni

- megadható egy  $m$  paraméter, ami azt mondja meg, hogy egy új csúcsnak hány lába van, amelyet  $\frac{\epsilon_i}{\sum \epsilon_i}$  valószínűséggel kötünk  $i$ -hez

- gyorsan elterjednek "hub"-ok ilyen hálózatban

- ha  $m=1 \rightarrow$  fa

- megmutatható, hogy  $p_i$  hatványfarkú (3-as kitevővel) az elosulás  $p_i \sim i^{-3}$
- számolható átlagter követéssel
- kiszámolható, hogyan növekedne a csúcs
- többféle modellje is van ennek a preferenciális kapcsolódásnak
- lehet véletlenszerű is a kapcsolódás, pl. azonos valószínűségi mindenhára a kapcsolódás
- átmenet is van a kettő között  $\frac{(i+a)}{\sum(i+a)}$   
 $i$  nagy  $\rightarrow$  preferenciális ( $a=1$ )  
 $a \rightarrow \infty \rightarrow$  véletlenszerű hozzárakadás

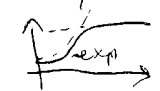
H: címet megnézegetése, feladatokon gondolkodás

03.30

Dinamitai rendszerek - kaosz, bifurkáció, diffúzió

- $\Leftarrow$  időben változó rendszer  $\rightarrow$  differenciálegyenlettel leírható rendszer
- kérdés: hosszú idő után hová, milyen állapotba kerül a rendszer? pl. kataraktus, periodikus mozgás, stb., fix pont
- differenciálegyenlet  $\rightarrow$  autonóm, folytonos
- leképezés
- pályát (idővel paraméterelve) trajektóriát (fázis térben)
- Poincaré - metszet  $\rightarrow$  minden pályát elemel  $\rightarrow$  leképezés  $\rightarrow$  jó vizualizációra
- mozgásállandó  $\rightarrow f(x(t))$  időben állandó adott kezdeti feltételnél
- ergodicitás: vannak fázis térben megengedett pontok

- attraktor : ahova tart a mozgás bizonyos k.f.-et mellett  
 → vonzási tartomány (basin) (separatrix)
- integrálható mechanikai rendszereket  
 racionális aránya van a két ciklus koordinátához tartozó frekvenciának  $\Rightarrow$  zárt pálya  $\rightarrow$  vonal a jātérletben  
 ha nem racionális az arány, akkor beszáll  
 sorra a jātérletet, nem periodikus mozgás, kváziperiodikus, ez pl. ergodikus mozgás  $\rightarrow$  egy pont tetszőlegesen kis környezetébe eljutunk
- KAM - elmélet

- logisztikus leképezés :  $x_{n+1} = f(x_n) = rx_n(1-x_n)$   
 $x_n \in [0, 1], r \in [0, 4]$   
 ↓  
 logisztikus görbe  $\frac{dx}{dt} = rx(1-x)$   (pl. baci?)
- logisztikus leképezés fix pontjai  
 $(0)$ ,  $(1-\frac{1}{r})$  pontok maradnak leképezés után is  
 ha  $r < 1$  a 0 vonzó fixpont  
 ha  $r \geq 1$  megjelenik még egy fixpont  $\rightarrow$  ebben futnak be az iterációk  
 $r=4$ -nél innel a parabola a négyzet tetefét  
 $r=3.3$  már nem a fixpontba fut be, hanem valami vonalon köröz körülötte  $\rightarrow$  ehhez az  $f(f(x))$  fix pontjait kell megvizsgálni  $\rightarrow r=3.3$ -nál két extra fixpont
- fixpontok stabilitásának vizsgálata  $\rightarrow$  minimum, hogy a vonzó fixponthoz közeledjen
- stabilitás azt jelenti, hogy a fixponttól kicsit eltérő pálya közeledni v. távolodni fog.

- lineáris stabilitáselemzés  $y \ll 1 \rightarrow$  ekkor közel vagyunk a fixponthoz
- $\Rightarrow r > 3$ -nál elveszi a stabilitást a fixpont
- $r = 3 \rightarrow$  bifurkációs pont  $\rightarrow$  ekkor két új fix pont, amit vonzók
- ezt is elveszti a stabilitásukat és a 4-es periódus váltik stabilá  $\Rightarrow$  ahogy nő  $r$ , egyre hosszabb pályák válnak stabilá minden bifurkációval megduplázódik a periódus  $\rightarrow$  végtelen periódusú pálya már  $r_0 = 3,59 \dots$ -nál (konvergens sor ide tart)  $\rightarrow$  kritikus érté után nem lesz ~~se~~ periódikus
- $r_0 < r < 4$

bevezethető  $\lambda, |\lambda| = e^\lambda$  Lyapunov exponens  
 távolodás  $\lambda > 0$ , közeledés  $\lambda < 0$

$y_2 = \epsilon y_1$        $y_{n+1} = \epsilon^n y_1$        $y_1$  kezdetben kicsi  
 $y_3 = \epsilon^2 y_1$        $|\epsilon^n| = e^{n\lambda}$        $\rightarrow$  hosszabb pályára átlagolunk  
 $\lambda = \ln |\epsilon|$        $\rightarrow$  átlagosan távolodás v. közeledés

$x_1$  és  $x_1 + y_1$  a két pályám  $y_1 \ll 1$

iterálunk  $n$  lépésben  $|f^n(x_1) - f^n(x_1 + y_1)| \approx e^{n\lambda(x_1)}$   
 $\lim_{y_1 \rightarrow 0} \frac{1}{y_1} |f^n(x_1) - f^n(x_1 + y_1)| = e^{n\lambda(x_1)}$   
 távolodási / közeledési ráta

$$|f^n(x_1) + \frac{df^n(x_1)}{dx_1} y_1 - f^n(x_1)| = \left| \frac{df^n(x_1)}{dx_1} y_1 \right| \approx y_1 e^{n\lambda(x_1)}$$

$$\lim_{n \rightarrow \infty} \frac{1}{n} \ln \left| \frac{df^n(x_1)}{dx_1} \right| = \lambda(x_1) = \frac{1}{n} \ln \prod_{k=0}^{n-1} |f'(x_k)| = \langle \ln |f'(x)| \rangle$$

átlag  $\uparrow$

$r_0 < r < 4$  esetén  $\lambda > 0$  esetben állapotok is és  $\lambda < 0$  periódikus pályák is vannak  
 $\rightarrow$  vannak ilyen ablakok pl. 3 periódusú pálya

- intermitencia:

intermittens út a kaoszhoz, amikor milyen paraméterértéknél periodikus a megoldás, de ha átlép egy küszöb értéket, akkor megjelenik a kaos → először látszik a periodikus mozgás az idősorban → ahogy a paraméter távolodik egyre hosszabb kaotikus darabok jelennek meg az idősorban

- másik út: bifurkációt után egyre nagyobb dimenziós objektumra futnak rá a pályák → amikor már 3 változó van a nem-lineáris rendszerben, akkor már nem tud egyszerű objektum kialakulni → kaotikus attraktor lesz...

Dissipáció és adaptáció:

- dissipatív rendszer pl. egy matematikai inga csillapítással

- ideálisan a felezési idő megmarad, dissipatív rendszerrel egyre kisebb terület

- dissipatív rendszerre  $\nabla \dot{x} < 0$   
 konzervatív - u -  $\nabla \dot{x} = 0$

- csillapított matematikai ingára  $\nabla \dot{x} = -\gamma < 0$

- a dissipativitás kérdése függ a koordinátarendszertől

- 3D-s rendszerekre lépjünk tovább

- Lorenz rendszer  $\frac{dx}{dt} = -\sigma(x-y)$   
 $\frac{dy}{dt} = -xz + rx - y$   
 $\frac{dz}{dt} = xy - bz$

- különös attraktorok → fraktálok → tört a dimenzióján  
 Cantor-halmaz

...

Diffúzió és transzport

↳ véletlen mozgások eredménye

- Brown - mozgás

- véletlen bolyongás → master - egyenlet:

$$p_{t+1}(x) = \frac{1}{2} p_t(x-1) + \frac{1}{2} p_t(x+1)$$

- messziről nézve →  $\Delta x$  lépésköz,  $\Delta t$  időköz

$$\frac{p_{t+\Delta t}(x) - p_t(x)}{\Delta t} = \frac{(\Delta x)^2}{2\Delta t} \frac{p_t(x+\Delta x) + p_t(x-\Delta x) - 2p_t(x)}{(\Delta x)^2}$$

$\Delta x, \Delta t \rightarrow 0$ ,  $\frac{(\Delta x)^2}{\Delta t}$  véges

diffúziós egyenlet  $\rightarrow \frac{\partial p(x,t)}{\partial t} = D \frac{\partial^2 p(x,t)}{\partial x^2}$  ( $D = \frac{(\Delta x)^2}{\Delta t}$ )

- megoldás:  $p(x,t) = \frac{1}{\sqrt{4\pi Dt}} e^{-\frac{x^2}{4Dt}}$

kezdeti felt:  $p(x,t=0) = \delta(x)$

-  $\langle x^2(t) \rangle = 2Dt$ , ( $\sigma = \sqrt{\langle x^2(t) \rangle} = \sqrt{2Dt}$ ) szórási  $\sim \sqrt{t}$

tipikus távolságot szétterjed  $\sim \sqrt{t}$  venni

- Lévy flights

$\Delta t$  is eloszlást követ, mint  $\Delta x$

ha mindkettő gyorsan lecseng, akkor

az aljzenetből is diffúzió lesz

ha nem szip az eloszlás, akkor Lévy-

repülésnek nevezik, → hatványfarkú eloszlás

⇒ Lévy eloszlás

-  $p(\Delta t) \sim \frac{1}{(\Delta t)^{1+\alpha}}$

$\alpha > 1$ ,  $\beta > 2$

$\alpha > 1$ ,  $1 < \beta < 2$

$0 < \beta < 1$

$0 < \alpha < 1$ ,  $\beta > 2$

$0 < \alpha < 1$ ,  $1 < \beta < 2$

$p(\Delta x) \sim \frac{1}{(\Delta x)^{1+\beta}}$   $\alpha, \beta > 0$

$\sigma \sim \sqrt{t} \Rightarrow$  normális diffúzió

$\sigma \sim t^{1/\beta} \Rightarrow$  Lévy repülés

újabb jelenségek

$\sigma \sim t^{\alpha/2} \Rightarrow$  subdiffúzió

$\sigma \sim t^{\alpha/\beta} \Rightarrow$  ambivalens folyamat

- hogyan megy az információ hálózatokban  $\rightarrow$  ezeket is lehet modellezni: pl.  $\sum_{i=1}^n p_i(t) = 1$

$$p_i(t + \Delta t) = p_i(t) + J_i^{(+)}(t) \Delta t - J_i^{(-)}(t) \Delta t$$

$J_i^{(\pm)}$  az információ ~~be~~ ki/be áramai

$$J_i^{(+)}(t) = \sum_j \frac{W_{ij}}{\sum_\varepsilon W_{\varepsilon j}} p_j(t), \quad J_i^{(-)}(t) = \sum_j \frac{W_{ji}}{\sum_\varepsilon W_{\varepsilon i}} p_j(t) = p_i(t)$$

$$\frac{p_i(t + \Delta t) - p_i(t)}{\Delta t} = \frac{\partial}{\partial t} p_i(t) = \sum_j T_{ij} p_j(t) - p_i(t)$$

$$T_{ij} = \frac{W_{ij}}{\sum_\varepsilon W_{\varepsilon j}}$$

diszkrét differenciáls egyenlet  $\frac{\partial}{\partial t} \vec{p}(t) = \underline{D} \vec{p}(t), (D_{ij} = T_{ij} - \delta_{ij})$

T "transzformárix"  $\rightarrow$  információ haladásait adja

- stacionárius állapot  $\rightarrow \frac{\partial p_i(t)}{\partial t} \rightarrow 0 \quad \forall i$

- általában a determinisztikus és stochasztikus folyamatok együtt szerepelnek

- Langevin - egyenlet :  $m \dot{v} = -m \gamma v + \xi(t) \leftarrow$  zaj

$$\langle \xi(t) \rangle = 0 \quad \leftarrow \text{sűrűdés}$$

$$\langle \xi(t) \xi(t') \rangle = Q \delta(t - t')$$

megpda's,  $\langle v(t) \rangle, \langle v^2(t) \rangle, \text{Einstein, } D = \frac{Q}{2\gamma^2 m^2}$

Zajos rendszerek

- neurális hálózatok

- stochasztikus viselkedés  $\rightarrow$  valamilyen potenciál-gödörből megszökés zaj hatására

Fokker-Planck egyenlet (len)

Stochasztikus dolgozat 05.11. ....

VEGE